

ویژگی‌های کانی‌شناسی و زمین‌شیمیایی نهشته بوکسیتی سیاهرودبار، استان گلستان،
شمال ایران

^۳ مریم کیا اشکوریان^{*}، علی اصغر کلاگری^۱، علی عابدینی^۲، غلامحسین شمعانیان^۳

- ۱- گروه علوم زمین، دانشکده علوم طبیعی، دانشگاه تبریز، تبریز، ایران
 - ۲- گروه زمین شناسی، دانشکده علوم، دانشگاه ارومیه، ارومیه، ایران
 - ۳- گروه زمین شناسی، دانشکده علوم، دانشگاه گلستان، گرگان، ایران

(دریافت مقاله: ۹۷/۷/۸، نسخه نهایی: ۹۷/۹/۳)

چکیده: نهشته بوکسیتی سیاهرودبار در ۲۵ کیلومتری جنوب غربی شهرستان علی آباد کتول در استان گلستان واقع شده است. این نهشته در بین سنگ آهک تریاس (سازند الیکا) و ماسه سنگ ژوراسیک (سازند شمشک) قرار دارد. بررسی های کانی شناسی نشانگر حضور کانی های اصلی چون دیاسپور، همانیت، آناتاز، کاتولینیت و شاموزیت هستند که توسط کانی های فرعی مانند بوهمیت، گوتیت، روتیل، کلسیت، مسکویت، کلینوکلر و کوارتز همراهی می شوند. محاسبات ضریب غنی شدگی نشان داده است که فرآیندهای بوکسیتی-REE ها همراه بوده اند. در شدن با غنی شدگی عناصری چون Al، Ti، Fe، V، Cr، Co، Ni، Ga، Ta، Zr، Y، U، Th، P، K، Na، Mg، Si، Ba و Rb از نیمرخ آبشویی شده و دچار تهی شدگی شده اند. افرون بر این، عناصری چون حالیکه، عناصری مانند Ca، Sr، Mn و Cs بطور بخشی هم آبشویی و هم تثبیت را تجربه نموده اند. بر اساس نتایج بررسی های زمین شیمیابی، تغییرات pH و Eh محلول های هوازده کننده، فرآیند جذب سطحی، حضور مواد آلی، عملکرد سنگ بستر کربناتی به عنوان یک سد زمین شیمیابی، حضور در کانی های مقاوم و تثبیت در فاز های کانیابی نوشکل نقش مهمی در توزیع عناصر جزئی و خاکی نادر در کانسنگ های مورد بررسی ایفا نموده اند. بررسی ضرایب همبستگی میان عناصر نشان می دهد که کانی های نوشکل فسفاته را می توان بطور عمده به عنوان میزان احتتمالی، عناصر خاکی، نادر در نظر گرفت.

واژه‌های کلیدی: پرکسیت؛ سیاهروودبار؛ استان گلستان؛ عناصر جزئی و خاکی نادر؛ بی هنجاری Ce و Eu؛ ضریب غنی شدگی.

مقدمه

نهشته سیاهرودبار، به مختصات جغرافیایی "۵۳° ۵۵' طول شرقی و "۴۹° ۳۶' عرض شمالی، در ۲۵ کیلومتری جنوب غربی شهرستان علی آباد کتول در استان گلستان واقع است. این نهشته به واسطه وقفه های رسویگذاری در گستره زمانی تریاس و ژوراسیک در بین سازندگان الیکا (تریاس) و شمشک (ژوراسیک) گسترش یافته است. بررسی های زمین شناسی ناحیه ای این منطقه در قالب تهیه نقشه زمین شناسی ۱:۱۰۰۰۰۰ چارگوش خوش پیلایق انجام شده است [۱]. [۲]. [۳]

*نوهسته مسئله ، تلفن: ۹۱۱۳۷۵۱۵۵۹ ، بست الکترونیک : mkja21@yahoo.com

بررسی‌های تکمیلی کانی‌شناسی و بافتی توسط میکروسکوپ الکترونی روبشی (SEM) (مدل UP LEO1450) در همین شرکت انجام شد. همچنین به منظور بررسی‌های زمین شیمیایی، تعداد ۱۶ نمونه در آزمایشگاه MS Analytical کانادا تجزیه شیمیایی شدند. مقادیر کمی اکسیدهای اصلی و فرعی به روش طیف سنجی نشر نوری پلاسمای جفت شده القایی (ICP-OES) با کد آنالیز WAR-310 و عناصر جزئی و کمیاب به روش طیف سنجی جرمی نوری پلاسمای جفت شده القایی (ICP-MS) با کد آنالیز IMS-300 تعیین گردیدند. حد آشکارسازی برای اکسیدهای اصلی و افت گرمایی (LOI) (%) ۰,۰۱ و برای عناصر جزئی Co, Th, Nb, Ta و Un ۰,۰۱ ppm، برای Ni, Hf, Rb و Ba ۰,۰۱ ppm، و عناصر V, U, Sr, Cs, Cr, Yb, Er, Eu, Sm, Pr, Nd, Ce, La ۰,۰۵ ppm و برای Zr ۰,۰۱ ppm بود. همچنین حد آشکارسازی برای عناصر La, Ce, Nd, Pr, Sm, Er, Eu, Yb, Ho, Tb, Tm ۰,۰۵ ppm و برای Dy ۰,۰۵ ppm بود. برای Lu ۰,۰۱ ppm و برای Y ۰,۰۵ ppm بوده است. مقدار LOI کانسنگ‌های مورد بررسی براساس مقدار کاهش وزن نمونه در اثر گرمادهی در 100°C به مدت یک ساعت اندازه گیری شد. نتایج به دست آمده از تجزیه XRD و تجزیه شیمیایی عناصر به ترتیب در جدول‌های ۱ و ۲ ارائه شده‌اند. در این پژوهش به منظور تعییر و تفسیرهای زمین‌شیمیایی، ضرایب همبستگی پیرسون بین عناصر با استفاده از نرم‌افزار SPSS نسخه ۲۱ محاسبه شدند. ضرایب همبستگی عناصر اصلی با عناصر جزئی و خاکی نادر در جدول ۳ آورده شده است.

جدول ۱ نتایج تجزیه‌های XRD در کانسنگ‌های نیمرخ مورد بررسی در سیاهروdbar.

کانی‌های فرعی	کانی‌های اصلی	شماره نمونه
کائولینیت، ایلیت، مسکویت هماتیت، کائولینیت، آناتاز، ایلیت، بوهمیت، کوارتز	دیاسپور، آناتاز، هماتیت	Si-1
هماتیت، کائولینیت، آناتاز، کلینوکلر	دیاسپور	Si-2
کائولینیت، آناتاز، مسکویت	دیاسپور	Si-3
هماتیت، آناتاز، شاموزیت، کائولینیت	دیاسپور	Si-4
هماتیت، آناتاز، شاموزیت، کائولینیت	دیاسپور	Si-5
آناتاز، شاموزیت، گوتیت، روتیل، تربیدیمیت	کائولینیت، هماتیت	Si-6
هماتیت، شاموزیت، آناتاز، کائولینیت بوهمیت، آناتاز، دیاسپور	دیاسپور	Si-7
هماتیت، آناتاز، کائولینیت، شاموزیت	دیاسپور	Si-8
دیاسپور، بوهمیت، آناتاز، ایلیت	دیاسپور	Si-9
هماتیت، آناتاز، کائولینیت، شاموزیت	دیاسپور	Si-10
کائولینیت، هماتیت، دیاسپور	کائولینیت، هماتیت	Si-11
هماتیت، آناتاز، کائولینیت، دیاسپور	دیاسپور	Si-13
هماتیت، بوهمیت، کائولینیت، دیاسپور، آناتاز	کائولینیت	Si-14
هماتیت، شاموزیت، آناتاز، کوارتز، مسکویت	کائولینیت	Si-15
کائولینیت، هماتیت، گوتیت	کلسیت، کوارتز	Si-16

چگونگی توزیع، رفتار و تحرک عناصر تشکیل‌دهنده این نهشته‌ها در ایران و جهان صورت گرفته است [۶]. با این حال، تاکنون پژوهشی پیرامون رفتار عناصر طی فرآیندهای بوکسیتی‌شدن در این نهشته صورت نگرفته است. در این پژوهش، با استفاده از روش‌های زمین‌شیمیایی تغییرات جرم، عوامل موثر در تحرک و بازتوزیع عناصر طی تشکیل این نهشته بررسی می‌شود. همچنین دلایل رخداد بی‌هنجری‌های Eu و Ce در کانسنگ‌های این نهشته نیز بررسی می‌گردد.

روش بررسی

بررسی نهشته بوکسیتی سیاهروdbar در دو بخش صحرایی و آزمایشگاهی انجام شده است. بخش صحرایی شامل بررسی شکل و هندسه نهشته، ریخت‌شناسی کانسنگ‌ها، انواع کانسنگی موجود در منطقه، نمونه‌گیری‌های پراکنده و غیرسامانمند از همه لایه‌ها و عدسی‌های بوکسیتی و سرانجام انتخاب یک نیمرخ مناسب به عرض ۱۶ متر (عمود بر راستای لایه‌های بوکسیتی که همه انواع کانسنگی موجود در منطقه مورد بررسی را زیر پوشش قرار دهد) برای نمونه‌گیری سامانمند بوده است. در این بخش تعداد ۳۰ نمونه کانسنگی براساس تغییرات در رنگ، بافت و سختی نمونه‌ها از کانسنگ‌های بوکسیتی برداشت شد.

در بخش آزمایشگاهی، برای شناسایی فازهای کانیایی غیر قابل تشخیص در زیر میکروسکوپ، تعداد ۱۵ نمونه به روش پراش پرتو ایکس (XRD) توسط دستگاه PHILIPS (مدل Xpert Pro Co K α) با تابش ۱۷۸۹۰۱۰A در شرکت فراوری مواد معدنی ایران در کرج بررسی شدند.

جدول ۲ نتایج تجزیه شیمیایی کانسنگ‌های بوکسیتی نهشته سیاهرودبار همراه با نسبت‌های زمین‌شیمیایی محاسبه شده.

	d.l.*	Si-1	Si-2	Si-3	Si-4	Si-5	Si-6	Si-7	Si-8	Si-9	Si-10	Si-11	Si-12	Si-13	Si-14	Si-15	Si-16
SiO ₂ (wt%)	۰,۰۱	۳۲,۱۲	۲۸,۹۲	۲۰,۰۷	۳۰,۸۵	۳۳,۸۴	۲۲,۷۶	۳۴,۷۸	۱۸,۷۵	۱۸,۲۱	۱۶,۷	۳۵,۱۳	۱۹,۳۳	۱۲,۰۹	۳۱,۴۳	۳۷,۵۶	۲۶,۹
Al ₂ O ₃	۰,۰۱	۳۶,۹۸	۳۷,۶۲	۴۷,۴۶	۳۵,۴۲	۳۵,۱۱	۴۱,۲۸	۲۹,۳۳	۴۶,۱۴	۴۱,۰۵	۵۰,۸۷	۳۵,۲۷	۳۶,۲۷	۴۹,۰۱	۳۵,۹	۲۹,۲۲	۱۳,۹۷
Fe ₂ O ₃ (T)	۰,۰۱	۱۴,۱۸	۱۵,۴	۱۴,۸۸	۱۵,۹۷	۱۳,۲۴	۲۰,۰۳	۱۷,۵۲	۱۷,۶	۲۶,۰۱	۱۵,۴۲	۱۴,۵۸	۲۹,۶۳	۲۳,۶	۱۵,۲۹	۱۳	۲۰,۳۱
CaO	۰,۰۱	۰,۱۵	۰,۱۴	۰,۲۱	۰,۱۷	۰,۲۴	۰,۱۷	۰,۲	۰,۱	۰,۰۴	۰,۰۸	۰,۱۶	۰,۱۱	۰,۰۶	۰,۱۹	۰,۳۳	۱۵,۰۱
MgO	۰,۰۱	۰,۵۸	۰,۴۷	۰,۴	۰,۴۶	۰,۶۴	۰,۴۱	۰,۳	۰,۲۸	۱,۰۲	۰,۲۷	۰,۵	۰,۲۷	۰,۲۳	۰,۴۹	۰,۷۷	۰,۳۷
Na ₂ O	۰,۰۱	۰,۱۲	۰,۰۹	۰,۰۸	۰,۱	۰,۱	۰,۰۶	۰,۰۶	۰,۰۷	۰,۰۳	۰,۰۴	۰,۱۱	۰,۰۵	۰,۰۲	۰,۰۹	۰,۱	۰,۰۲
K ₂ O	۰,۰۱	۲,۳۱	۲,۱۹	۰,۸۷	۱,۸۶	۱,۸۱	۱,۲۱	۱,۲	۰,۸۳	۰,۳۵	۰,۹۱	۱,۷۵	۱,۱	۰,۷	۱,۰۸	۲,۵۷	۰,۳۸
TiO ₂	۰,۰۱	۲,۰۱	۲,۱۱	۲,۶۶	۱,۹۹	۲	۲,۱۳	۳,۳۹	۲,۰۵	۲,۱۵	۲,۵۶	۲,۰۴	۲,۰۱	۲,۱۷	۲,۰۹	۲,۵۲	۱
MnO	۰,۰۱	۰,۰۲	۰,۰۴	۰,۰۱	۰,۰۱	۰,۰۱	۰,۰۱	۰,۰۲	۰,۰۲	۰,۰۱	۰,۰۱	۰,۰۱	۰,۰۵	۰,۱۴	۰,۰۳	۰,۱۱	۰,۳۹
P ₂ O _۵	۰,۰۱	۰,۱	۰,۱۴	۰,۰۵	۰,۰۵	۰,۰۶	۰,۱۲	۰,۰۸	۰,۰۵	۰,۰۴	۰,۰۵	۰,۰۵	۰,۰۷	۰,۰۵	۰,۰۶	۰,۰۷	۰,۰۸
LOI		۱۰,۹۹	۱۱,۲۲	۱۲,۱۶	۱۱,۵۳	۱۱,۷	۱۱,۱۲	۱۱,۲۳	۱۱,۸۳	۱۰,۰۸	۱۱,۹۹	۱۱,۶۴	۱۰,۰۲	۱۱,۴۲	۱۳,۰۱	۱۲,۴۸	۲۰,۳۳
مجموع		۹۹,۶۵	۹۸,۴۵	۹۹,۴۱	۹۸,۲۹	۹۸,۸۳	۱۰,۰۴	۹۸,۲۵	۹۸,۳	۹۹,۰۲	۹۸,۹۶	۱۰,۱۳۱	۹۸,۹۹	۱۰,۰۰۷	۹۹,۷۵	۹۸,۸۱	۹۸,۸۸
Rb (ppm)	۰,۲	۷۳	۶۹,۶	۱۷,۷	۵۸,۷	۶۴,۸	۲۷	۴۱,۴	۲۴,۷	۸,۶	۲۵,۸	۶۲,۲	۳۲,۶	۱۸,۸	۴۰,۱	۹۵,۷	۷,۵
Cs	۰,۰۱	۵,۴۵	۵,۲۴	۲,۵	۵,۲۴	۵,۴۲	۳,۲	۷,۷۴	۲,۳	۱,۶۲	۲,۳۱	۵,۷۲	۲,۹۵	۱,۶۲	۳,۳۳	۶,۸۲	۰,۴۷
Ba	۰,۵	۱۹۷,۲	۲۰,۹,۷	۱۴,۰۶	۱۷۸,۱	۱۷۴	۱۲,۰,۶	۱۱۶,۶	۱۱۵,۵	۴۷,۲	۹۵,۵	۱۸۳,۲	۱۶۵,۵	۱۸,۰,۴	۱۴۱,۵	۲۶۳,۳	۲۸,۰,۴
Sr	۰,۸	۳۸۲,۲	۵۱,۰,۸	۱۱۶,۳	۱۴۲,۲	۲۰,۰,۱	۴,۰,۶۲	۲۸۹,۳	۱۴۵,۷	۵,۳,۶	۱۳۲,۴	۱۴۲,۶	۱۴۷,۴	۱۱۵	۱۸۴,۷	۱۴۵	۳۲,۰,۶
Th	۰,۱	۳۸,۸۳	۴,۰,۷۷	۵۱,۶۲	۳۸,۸۵	۳۷,۷۱	۳۵,۹۹	۲,۰,۴۴	۴۷,۷۷	۴,۱,۶۹	۴۶,۶۵	۲۳,۴۵	۵۱,۴۶	۴۷,۳	۲۵,۰۹	۲۶,۳۲	۱۳,۴۶
U	۰,۰۵	۷,۱	۱,۰,۱۱	۱۱,۰,۱	۱,۰,۵۷	۱,۰,۵۷	۱,۰,۹۵	۰,۵,۶۵	۱,۳,۹۵	۱۳,۸۱	۱۲,۵۲	۸,۶۲	۱۴,۴۱	۱۵,۷۱	۹,۷	۵,۵۶	۴,۴۸
Ga	۰,۲	۴۵,۲	۳۹,۸	۵,۳,۳	۴۶,۴	۴۱,۶	۹,۰,۴	۳۲,۶	۵,۷	۵,۲,۸	۶۹,۱	۳,۰,۲	۵,۰,۷	۷۹,۸	۵۴	۳,۹,۸	۱۹,۶
Y	۰,۵	۷۵,۸	۷۲,۸	۶,۳,۳	۳۹,۴	۴۲,۲	۸,۶,۵	۴,۱,۱	۳۸,۹	۴,۰,۵	۳۷,۱	۲۹	۲۹,۹	۳,۳,۵	۳۴,۷	۴,۳,۵	۲۱,۱
Zr	۲	۳۵,۲	۴,۱۳	۵,۴,۸	۴,۴,۱	۴,۳,۶	۴,۱,۸	۳,۷,۸	۵,۳,۵	۴,۷,۵	۵,۸,۲	۴,۴,۲	۴,۳,۰	۶,۰,۶	۶,۳,۷	۴,۷,۲	۴,۴,۲
Ta	۰,۱	۳	۳	۳,۴	۲,۷	۲,۶	۲,۶	۲,۴	۳,۲	۲,۵	۲,۹	۲,۸	۲,۶	۰,۹	۲,۸	۲,۴	۱,۳
Nb	۰,۱	۴۹,۳	۴۶,۵	۴,۸,۹	۴۴,۸	۴۳,۷	۳,۸,۶	۲,۱,۳	۳,۹,۱	۲۹,۱	۳۷,۷	۴۹,۱	۳,۳,۲	۳,۶,۵	۵,۲,۳	۴,۵,۶	۱,۸
Hf	۰,۲	۱۱,۱	۱۲,۶	۱,۶	۱۲,۰	۱۲	۱۱,۷	۱,۰,۴	۱۴,۳	۱۲,۷	۱۵,۶	۱۱,۹	۱۳,۳	۱۵,۴	۱۶	۱۱,۶	۱۱,۹
V	۱,۰	۴۲,۴	۴۱,۲	۴,۸,۹	۳۸,۴	۴۱,۳	۰,۰,۱	۳,۰,۱	۵,۱,۶	۴,۵,۸	۵,۲,۲	۳,۶,۴	۵,۲,۴	۴,۸,۶	۳,۵,۹	۳,۱,۸	۱,۵,۹
Cr	۱,۰	۱۴۲	۱,۴,۶	۲,۲,۵	۱,۸,۵	۱,۹,۴	۲,۸,۸	۰,۵,۸	۲,۵,۸	۲,۱,۵	۲,۲,۰	۱,۳,۸	۲,۶,۸	۳,۰,۵	۲,۴,۵	۳,۴,۵	۲,۲,۳
Co	۰,۱	۴۶,۷	۲۷,۱	۳,۰,۲	۱۶,۰	۲۲,۳	۱۹,۹	۱۷,۲	۱۶,۸	۶,۹,۸	۱۷,۷	۱۷,۱	۱۳,۲	۱۶,۳	۲۶,۸	۳,۵,۵	۴,۳,۳
Ni	۰,۲	۱۶۳,۶	۱۴۸,۲	۱۱,۲	۷۷,۲	۱۱,۰,۷	۱۱۴,۶	۱۰,۰,۱	۸,۴,۲	۱۱,۱,۳	۶۷,۴	۱۱,۱,۸	۶۶,۸	۴۹,۸	۱۰,۹,۴	۱۳,۷	۹,۰,۱
La (ppm)	۰,۱	۱۱۳,۶	۱۶۷,۹	۳,۷,۵	۵۱,۷	۶۸,۶	۸,۰,۸	۶,۶	۶,۴,۷	۱۲,۳	۶۱,۷	۶۳	۶۳,۱	۴,۰,۱	۴۹	۷۸,۶	۲۷,۶
Ce	۰,۱	۲۰,۹,۶	۲۸,۹,۳	۱,۰,۹,۸	۱۷۹,۳	۲,۰,۱,۵	۱۸۸,۱	۱۸۷,۸	۲۲۲,۵	۶۳,۱	۲۱۳,۶	۱۸,۶	۲۲۵,۵	۱۵۴,۴	۱۶۴,۴	۱۹۱,۶	۶۷,۹
Pr	۰,۰۳	۲۶,۰	۲۳,۷۴	۱,۰,۰,۱	۱۲,۶۴	۱۶,۲۱	۲,۳,۱	۲,۰,۹۵	۱۰,۰,۰,۵	۳,۶۲	۱۵,۰,۷	۱۳,۰,۴	۱۵,۷۳	۱,۰,۴,۰	۱۰,۷۶	۱۹,۳,۲	۶,۶۲
Nd	۰,۱	۱۱۴,۶	۱۳,۱,۲	۴,۲,۱	۴۷,۵	۵۰,۷,۷	۹,۲,۱	۷۹,۵	۵۶,۸	۱۴,۳	۵۴,۹	۴۷,۲	۵۷	۴,۰,۷	۳,۸,۷	۷۷,۸	۲۰,۹
Sm	۰,۰۳	۲۳,۹۴	۲۸,۱,۱۲	۹,۷,۸	۹,۶,۶	۱۰,۰,۰	۱۷,۸	۱۴,۴۶	۱۱,۸,۸	۳,۸,۵	۱۱,۲۲	۹,۰,۵	۱۱,۹,۳	۹,۶,۷	۷,۷,۴	۱۳,۱,۴	۴,۹۹
Eu	۰,۰۳	۴,۸,۶	۵,۰,۳	۲,۱,۲	۲,۰,۲	۲,۰,۵	۳,۷,۷	۲,۹,۵	۲,۰,۳	۰,۹۹	۲,۳,۵	۱,۸,۸	۲,۴,۵	۲,۰,۵	۱,۷,۷	۲,۹,۹	۱,۲
Gd	۰,۰۵	۱۹,۱,۱۸	۲۱,۰,۴	۹,۶,۹	۹,۰,۳	۹,۴,۱	۱۵,۰,۳	۱۱,۶۱	۱,۰,۷	۵,۲,۵	۱۰,۰,۲	۷,۹,۸	۱۰,۰,۹	۸,۴,۱	۷,۷,۶	۱۱,۶,۸	۴,۷,۴
Tb	۰,۰۱	۲,۸,۱	۳	۱,۶,۷	۱,۲,۸	۱,۳,۵	۲,۳,۸	۱,۸,۵	۱,۰,۱	۱,۰,۷	۱,۱,۶	۱,۱,۱۶	۱,۱,۲۶	۱,۱,۱۷	۱,۱,۱۷	۱,۱,۱۷	۰,۸,۵
Dy	۰,۰۵	۱۵,۶۴	۱۷,۰,۴	۱۱,۰,۹	۸,۱,۶	۸,۳,۳	۱۵,۱,۵	۹,۷,۶	۹,۱,۷	۸,۰,۲	۸,۶,۴	۷,۰,۹	۸,۱,۲	۷,۷	۷,۳,۵	۱۰,۰,۱	۳,۹,۹
Ho	۰,۰۱	۳,۰,۷	۲,۲۹	۲,۵	۱,۶	۱,۶۷	۳,۰,۵	۱,۰,۴	۱,۸,۱	۱,۶۵	۱,۷	۱,۳,۵	۱,۵,۱	۱,۴,۹	۱,۴,۶	۲,۰,۳	۰,۷۷
Er	۰,۰۳	۸,۷,۱	۹,۰,۶	۷,۳,۶	۴,۷,۶	۴,۸,۷	۸,۹,۵	۰,۴,۲	۵,۲۴	۴,۶,۹	۵,۱,۱	۴,۰,۴	۴,۲,۹	۴,۴,۳	۴,۳,۲	۵,۸,۲	۲,۲۶
Tm	۰,۰۱	۱,۲	۱,۴,۲	۱,۰,۳	۰,۷	۰,۷۳	۱,۱,۶	۰,۷۵	۰,۱,۸	۰,۶۷	۰,۷۸	۰,۶۴	۰,۶۵	۰,۶۶	۰,۶۶	۰,۶۴	۰,۷۲
Yb	۰,۰۳	۷,۹,۱	۹,۷,۹	۷,۰,۵	۴,۶,۵	۴,۹,۵	۷,۴,۸	۴,۸,۷	۵,۶,۳	۴,۵,۲	۵,۴,۹	۴,۲,۹	۴,۴,۹	۴,۷,۳	۴,۴,۴	۵,۶,۵	۲,۰,۹
Lu	۰,۰۱	۱,۱,۹	۱,۴,۲	۱,۰,۶	۰,۶,۹	۰,۷,۵	۱,۰,۹	۰,۷۴	۰,۸,۱	۰,۶۷	۰,۸,۳	۰,۶,۵	۰,۶۴	۰,۷۱	۰,۶۶	۰,۸,۳	۰,۳,۲
La/Y	۱,۰*	۲,۳,۱	-۰,۵۹	۱,۳,۱	۱,۶,۳	-۰,۹۹	۲,۰,۹	۱,۶,۶	-۰,۱,۰	-۰,۳,۰	۱,۶,۶	۲,۱,۷	۲,۱,۱	۱,۲,۰	۱,۳,۳	۱,۶,۲	۱,۳,۱
(La,Yb)n	۹,۷*	۱۱,۰,۹	۳,۵,۹	۷,۵,۱	۹,۳,۶	۷,۷,۵	۱۲,۰,۶	۷,۷,۷	۱,۸,۴	۷,۵,۹	۹,۹,۲	۹,۵,۰	۵,۷,۳	۷,۰,۰	۹,۴,۰	۸,۹,۲	
(LREE/HREE)n	۸,۲*	۹,۷*	۵,۰,۵	۹,۸,۱	۱۱,۱,۱	۷,۵,۰	۱۰,۰,۷	۱,۰,۴,۹	۳,۷,۰	۱۰,۰,۶	۱۱,۷,۹	۱۲,۰,۳	۸,۷,۶	۹,۶,۸	۹,۶,۸	۸,۸,۸	۱,۱,۶
Ce/Ce*	۰,۸*	۰,۸*	۱,۲,۸	۱,۶,۱	۱,۳,۸	-۰,۹۸	۱,۰,۱	۱,۰,۹	۲,۲,۰	۱,۶,۱	۱,۴,۴	۱,۶,۴	۱,۷,۴	۱,۶,۹	۱,۱,۳	۱,۱,۵	

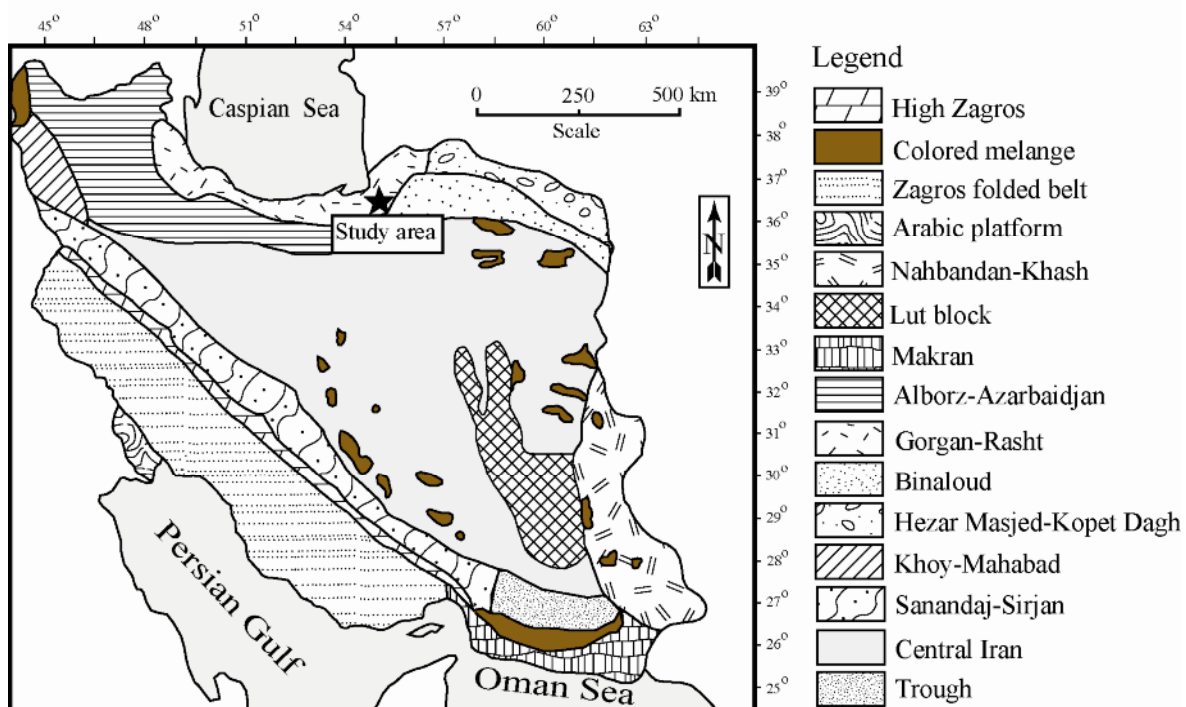
جدول ۳ ضرایب همبستگی پیرسون بین عناصر در کانسنگ‌های بوکسیتی نیمرخ مورد بررسی در سیاهروdbار.

	Si	Al	Fe	Ti	Ca	Mg	Na	K	Mn	P
Rb	0,77	-0,23	-0,61	0,10	-0,33	0,31	0,82	0,97	-0,26	0,31
Ba	0,46	-0,64	-0,28	-0,51	0,53	-0,05	0,25	0,47	0,66	0,32
Cs	0,81	-0,24	-0,54	0,45	-0,42	0,19	0,72	0,81	-0,41	0,27
Sr	0,33	-0,33	-0,22	-0,18	0,22	-0,14	0,19	0,38	0,14	0,96
Th	-0,65	0,87	0,24	0,19	-0,61	-0,16	-0,01	-0,13	-0,56	-0,24
U	-0,84	0,78	0,56	0,12	-0,44	-0,19	-0,41	-0,46	-0,32	-0,37
Ga	-0,64	0,76	0,27	0,19	-0,45	-0,23	-0,30	-0,26	-0,34	-0,09
Y	0,10	0,26	-0,27	0,18	-0,35	0,14	0,37	0,43	-0,39	0,69
Zr	-0,51	0,50	0,01	0,09	-0,11	-0,21	-0,31	-0,47	0,01	-0,55
Ta	0,19	0,33	-0,42	0,38	-0,52	0,13	0,61	0,33	-0,73	0,07
Nb	0,47	0,30	-0,67	0,42	-0,68	0,07	0,84	0,65	-0,67	0,08
Hf	-0,83	0,65	0,06	0,07	-0,18	-0,32	-0,24	-0,44	-0,11	-0,43
V	-0,65	0,90	0,27	0,32	-0,69	-0,16	-0,07	-0,12	-0,65	-0,13
Cr	-0,58	-0,15	0,15	0,64	-0,04	-0,26	-0,33	-0,18	0,06	-0,01
Co	0,09	-0,24	0,13	-0,28	0,28	0,77	-0,11	-0,11	0,22	0,03
Ni	0,68	-0,33	-0,49	0,24	-0,11	0,45	0,57	0,59	-0,20	0,56
	Si	Al	Fe	Ti	Ca	Mg	K	Mn	P	Y
La	0,38	-0,01	-0,38	0,17	-0,28	-0,09	0,72	-0,26	0,81	0,63
Ce	0,21	0,22	-0,30	0,28	-0,50	-0,31	0,64	-0,45	0,47	0,33
Pr	0,36	0,01	-0,36	0,24	-0,32	-0,13	0,72	-0,30	0,82	0,70
Nd	0,34	0,01	-0,35	0,21	-0,29	-0,10	0,70	-0,27	0,84	0,75
Sm	0,24	0,09	-0,30	0,18	-0,30	-0,11	0,66	-0,27	0,83	0,76
Eu	0,24	0,09	-0,30	0,18	-0,30	-0,09	0,66	-0,26	0,84	0,78
Gd	0,22	0,14	-0,31	0,20	-0,35	-0,07	0,65	-0,33	0,82	0,82
Tb	0,16	0,22	-0,27	0,24	-0,40	-0,004	0,60	-0,39	0,80	0,89
Dy	0,12	0,27	-0,27	0,26	-0,43	0,07	0,55	-0,43	0,75	0,94
Ho	0,08	0,31	-0,28	0,27	-0,43	0,09	0,50	-0,45	0,71	0,97
Er	0,08	0,33	-0,29	0,28	-0,44	0,07	0,49	-0,46	0,70	0,97
Tm	0,08	0,37	-0,33	0,29	-0,48	0,06	0,53	-0,49	0,68	0,92
Yb	0,02	0,42	-0,32	0,29	-0,50	0,03	0,51	-0,49	0,65	0,90
Lu	0,04	0,42	-0,35	0,31	-0,50	0,04	0,52	-0,49	0,64	0,90

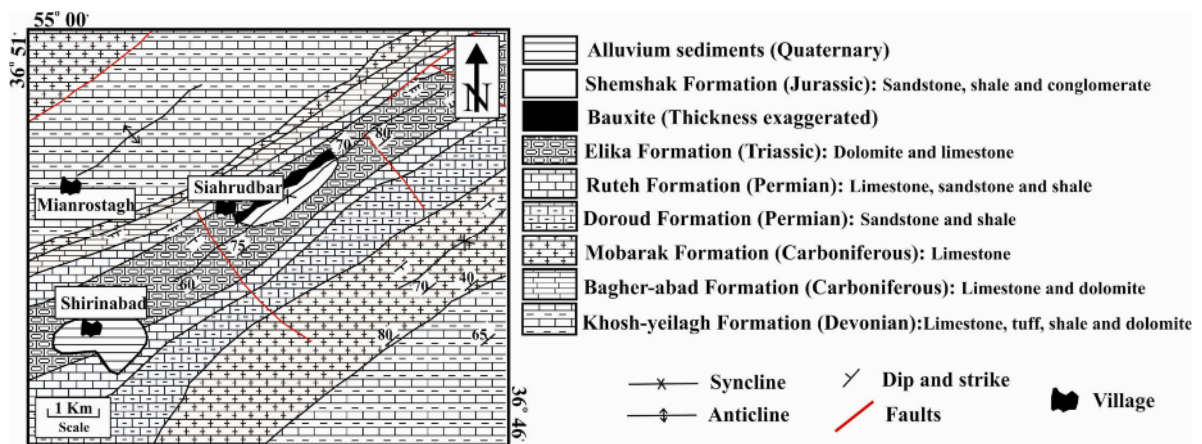
آهک‌های نازک لایه دربردارنده آثار کرمی‌شکل، سنگ آهک‌های مارنی همراه با میان‌لایه‌های دولومیتی تشکیل یافته است، میزبان افق بوکسیتی سیاهروdbار بوده که به طور هم‌شیب روی هم قرار گرفته و توسط شیل و ماسه‌سنگ‌های سازند شمشک با سن ژوراسیک پوشیده شده است (شکل ۲). در واقع، این افق با روند شمال شرق-جنوب غرب در بین سنگ‌های آهکی سازند الیکا و ماسه‌سنگ‌های و زغالی سازند شمشک گسترش یافته است. رسوبات آبرفتی دوران چهارم به عنوان جوان‌ترین واحد رسوبی در این منطقه حضور دارند.

زمین‌شناسی

بر اساس تقسیم‌بندی پهنه‌های ساختاری زمین‌شناسی ایران [۱۵]، نهشته سیاهروdbار بخشی از پهنه گرگان-رشت محسوب می‌شود (شکل ۱). توالی رسوبی در منطقه سیاهروdbار از قدیم به جدید شامل سازند خوش‌بیلاق با ترکیب سنگ‌شناسی دولومیت، آهک، توف و شیل است که توسط سنگ آهک‌های سازند مبارک باقرآباد با سن کربونیفر پوشیده می‌شود. در ادامه ستون چینه‌شناسی، سازندهای ماسه‌سنگی، شیلی و آهکی درود و روته با سن پرمین قرار دارند. سازند الیکا که از سنگ



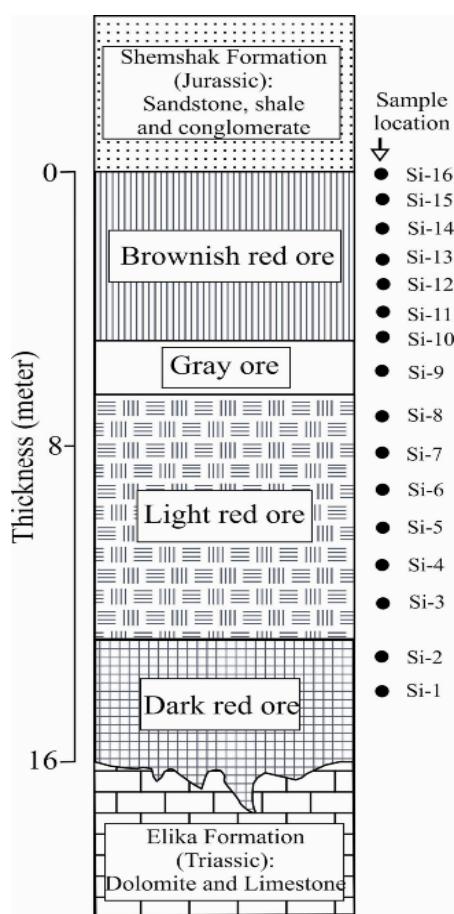
شکل ۱ نقشه زمین‌شناسی پهنه‌های زمین‌ساختی ایران [۱۵] و جایگاه نهشته بوکسیت سیاهرودبار در آن.



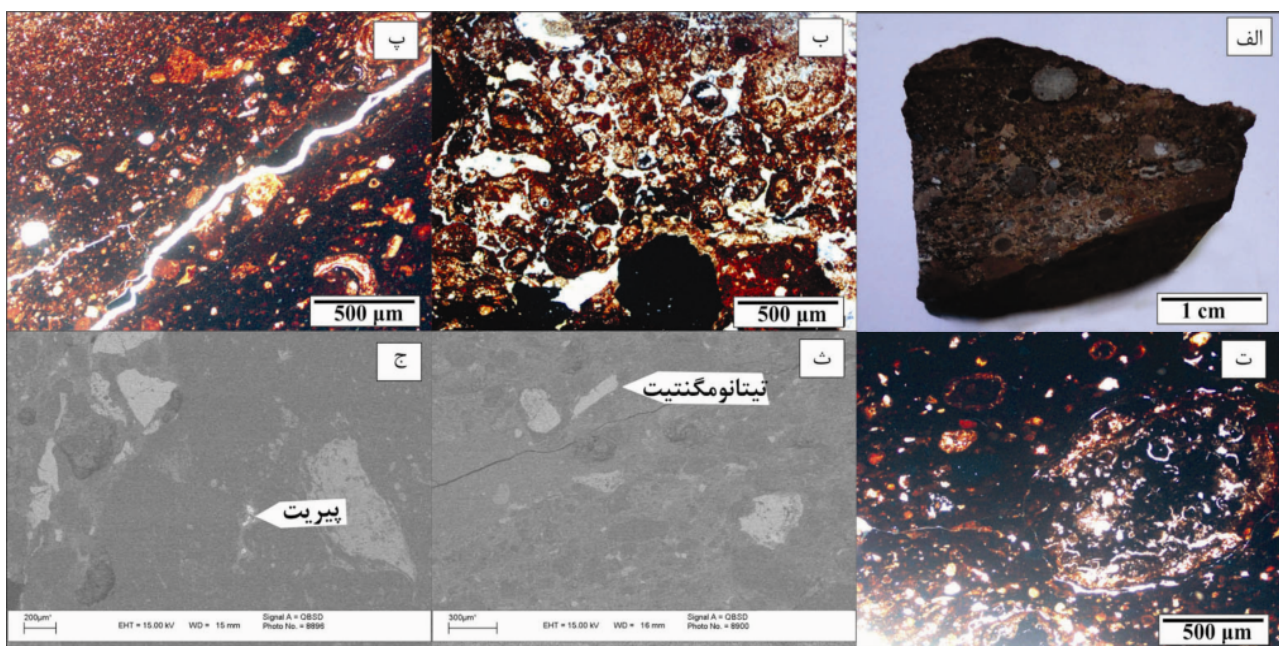
شکل ۲ نقشه زمین‌شناسی نهشته بوکسیت سیاهرودبار [۱].

شکل) و پوشش (مرز به صورت ناپیوستگی همшиб) است. عملکرد گسل‌ها بر این نهشته بوکسیتی، سبب جابه‌جایی چندین متری و جدا شدن بخش انتهایی آن شده است. وجود طبقات شیلی و سست در بین طبقات کانسنگ قرمز تیره و همچنین قطعات تخریبی گرد شده و پیزوویدی در کانسنگ قرمز تمایل به قهوه‌ای (شکل ۴ الف) در بخش پایانی نیمرخ از ویژگی‌های مزوسکوپی دیده شده در این نهشته هستند.

در یک نیمرخ انتخابی، افق بوکسیتی مورد بررسی را با وجود رنگ غالب قرمز آجری آن، می‌توان به چهار واحد سنگی مجزا تقسیم کرد که از پایین به بالا شامل (۱) کانسنگ قرمز تیره (DRO)، (۲) کانسنگ قرمز روشن (LRO)، (۳) کانسنگ خاکستری (GO) و (۴) کانسنگ قرمز تمایل به قهوه‌ای (BRO) هستند (شکل ۳). نیمرخ بوکسیتی دارای مرز کاملاً مشخص با سنگ‌های درونگیر بستر (مرز به صورت موجی



شکل ۳ شمایی از نیمرخ منطقه مورد بررسی، محل برداشت نمونه ها با دایره های توپر نشان داده است



شکل ۴ (الف) تصویر مacroscopicی از نمونه کانسنگی شامل قطعات تخریبی گرد شده و پیزوویدی در کانسنگ BRO، تصویر میکروسکوپی از نور عبوری قطبیده (ب) بافت اوویدی-پیزوویدی، (پ) بافت ریزدانه ای و رگچه ای، (ت) بافت پلتی در زمینه ای ریزدانه ای و اوویدی. (ث و ج) تصاویر میکروسکوپی الکترونی روبشی از قطعات تیتانومگنتیت و پیریت.

کوارتز به عنوان کانی‌های اصلی کانسنگ بوکسیت عمل کرده‌اند. افزون بر این، تصاویر SEM حضور کانی‌های تیتانومگنتیت (شکل ۴ ث) و پیریت (شکل ۴ ج) را در این نهشته نشان داده که احتمالاً بعلت کمی مقدار آنها (4%) در نتایج XRD آشکار نشده‌اند.

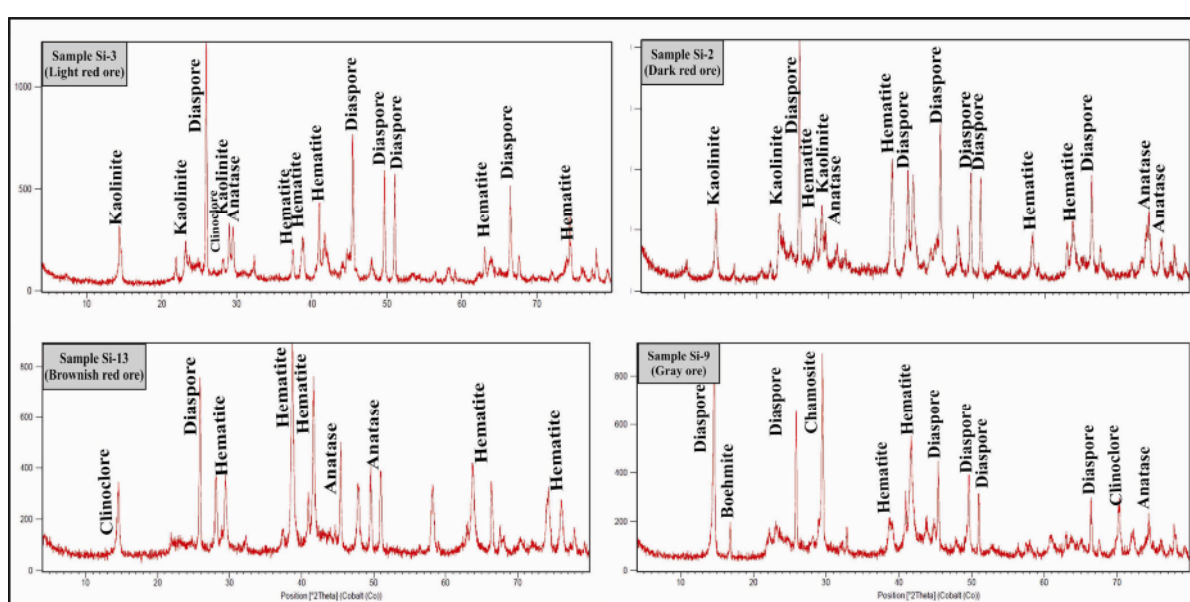
زمین شیمی

رد بهندی کانسنسگ‌ها بر اساس شیمی عناصر اصلی جایگاه کانسنسگ‌های مورد بررسی در نمودار سه متغیره Al_2O_3 - Fe_2O_3 - SiO_2 [۱۷] به طور غالب دو نوع کانسنسگی بوکسیت و لاتریت را برای نهشته سیاهرودبیار مشخص می‌کند. البته یک نمونه نیز در جایگاه کانولینیت قرار گرفته است (شکل ۶ الف). مقایسه جایگاه کانسنسگ‌ها در نیمرخ مورد بررسی (شکل ۳) با جایگاه قرارگیری آنها در نمودار یاد شده (شکل ۶ الف) نشان می‌دهد که کانسنسگ قرمز تیره (DRO) ترکیبی در حد لاتریت، کانسنسگ قرمز روشن (LRO) ترکیبی در حد بوکسیت و لاتریت، کانسنسگ خاکستری (GO) ترکیبی در حد بوکسیت و کانسنسگ قرمز مایل به قهوه‌ای (BRO) ترکیبی در حد بوکسیت، لاتریت و کانولینیت دارند. همچنین نمودار سه متغیره شلمن [۱۸] (شکل ۶ ب) نشان می‌دهد که کانسنسگ‌های این نهشته در شرایط هوازدگی متوسط تا شدید تشکیل شده‌اند.

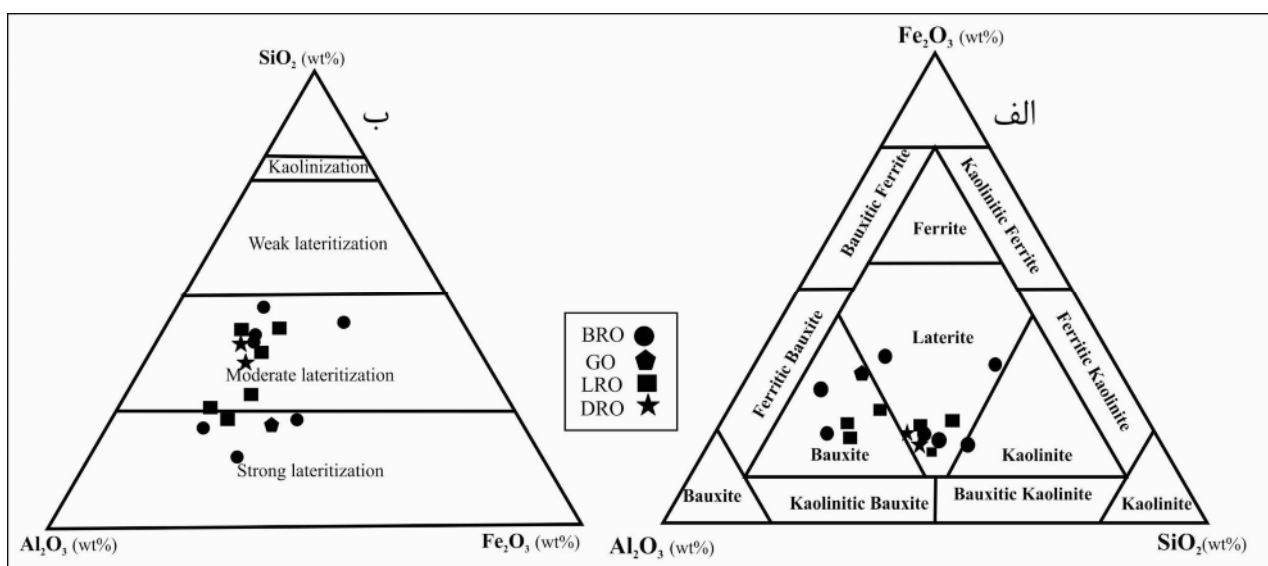
بحث و بررسی

بررسی‌های میکروسکوپی بر روی نمونه‌های کانسنسگی نهشته سیاهرودبار نشان از حضور بافت‌های چیره اوییدی- پیزوویدی (شکل ۴ ب) و ریزدانه‌ای (شکل ۴ پ) دارد. تشکیل بافت‌های اوییدی و پیزوویدی نشان‌دهنده محیط رسوبی پرانرژی و اشباع از آب همراه با نوسانات شدید آب زیرزمینی طی فرآیند بوکسیتی‌شدن است [۱۶]. همچنین شکستگی‌ها و رگچه‌های متعددی در زمینه برخی از کانسنسگ‌ها دیده می‌شود که نتیجه‌های از تاثیر نیروهای زمین‌ساختی و فعالیت‌های دیرزاد بر این نهشته است. در بخش‌های بالای نیمرخ، قطعات آواری (شکل ۴ الف) و بافت پلتی (شکل ۴ ت) نیز دیده می‌شود که

نتایج برآمده از تجزیه‌های XRD بیانگر حضور کانی‌های دیاسپور، هماتیت، آناتاز و کاولینیت به عنوان فازهای کانیایی اصلی و بوهمیت، شاموزیت، گوتیت، روتیل، کلسیت، مسکویت، کلینوکلر و کوارتز به عنوان فازهای کانیایی فرعی در کانسنس-های این نهشته هستند (جدول ۱ و شکل ۵). همچنین در کانسنسگ خاکستری (GO)، شاموزیت به عنوان یکی از کانی‌های اصلی تشکیل‌دهنده حضور دارد. در بخش بالایی افق (انتهای واحد BRO) مجاور با ماسه‌سنگ‌های شمشک، کلسیت



شکل ۵ طیف‌های XRD مربوط به کانسنگ‌های سیاهرودبار.



شکل ۶ نمودار مثلثی $\text{Al}_2\text{O}_3\text{-Fe}_2\text{O}_3\text{-SiO}_2$ الف) آلا [۱۷] و ب) شلمن [۱۸] برای کانسنجهای نهشتہ سیاهرودبار.

مطالعه چون Al , Ti , Zr , Nb , Hf , Th و Y بیانگر گستره تغییرات وسیع این عناصر در نیمیرخ بوکسیتی سیاهرودبار است. با توجه به این امر، برای بررسی تغییرات جرم در نهشتہ سیاهرودبار از روش ضریب غنی‌شدگی عناصر با استفاده از رابطه زیر بهره گرفته شد [۲۳]:

$$\text{E.F.}_{(\text{Enrichment Factor})} = 100 \times \left(\frac{\text{X}_{\text{Ore}}}{\text{X}_{\text{UCC}}} - 1 \right)$$

در این رابطه، X_{Ore} مقدار عنصر در نمونه مورد نظر و X_{UCC} مقدار عنصر مورد نظر در پوسته قاره‌ای بالایی (UCC) است. در واقع در این رابطه، UCC [۲۴] به عنوان سنگ خاستگاه در نظر گرفته شده است. این محاسبات در شش دسته (۱) عناصر اصلی، (۲) عناصر فرعی، (۳) عناصر سنگ دوست درشت یون، (۴) عناصر با قدرت میدان بالا، (۵) عناصر جزئی عبوری و (۶) عناصر خاکی نادر انجام شد که نتایج این محاسبات به صورت نموداری در شکل ۷ نشان داده شده است و در ادامه توضیح داده می‌شود.

عناصر اصلی: بررسی ضریب غنی‌شدگی Si در نیمیرخ مورد بررسی بیانگر آن است که این عنصر طی فرآیندهای بوکسیتی-شدن دچار تهی‌شدگی نسبی شده است (شکل ۷ الف). تهی‌شدگی Si می‌تواند در نتیجه کائولینیتی‌شدن و یا مسکوکیتی‌شدن فلدسپارها و سرانجام تبدیل خود این کانی‌ها بطور بخشی و یا کامل به کانی‌های آلومینای آزاد و خروج اسید سیلیسیک رخ داده باشد [۲۵]. غنی‌شدگی Al در نیمیرخ مورد بررسی احتمالاً در نتیجه تمرکز این عنصر به صورت بازماندی صورت گرفته است (شکل ۷ الف). آلومینیوم به دلیل داشتن تنها یک حالت اکسایشی (Al^{3+}) نمی‌تواند از پتانسیل اکسایش

کاربردهای صنعتی

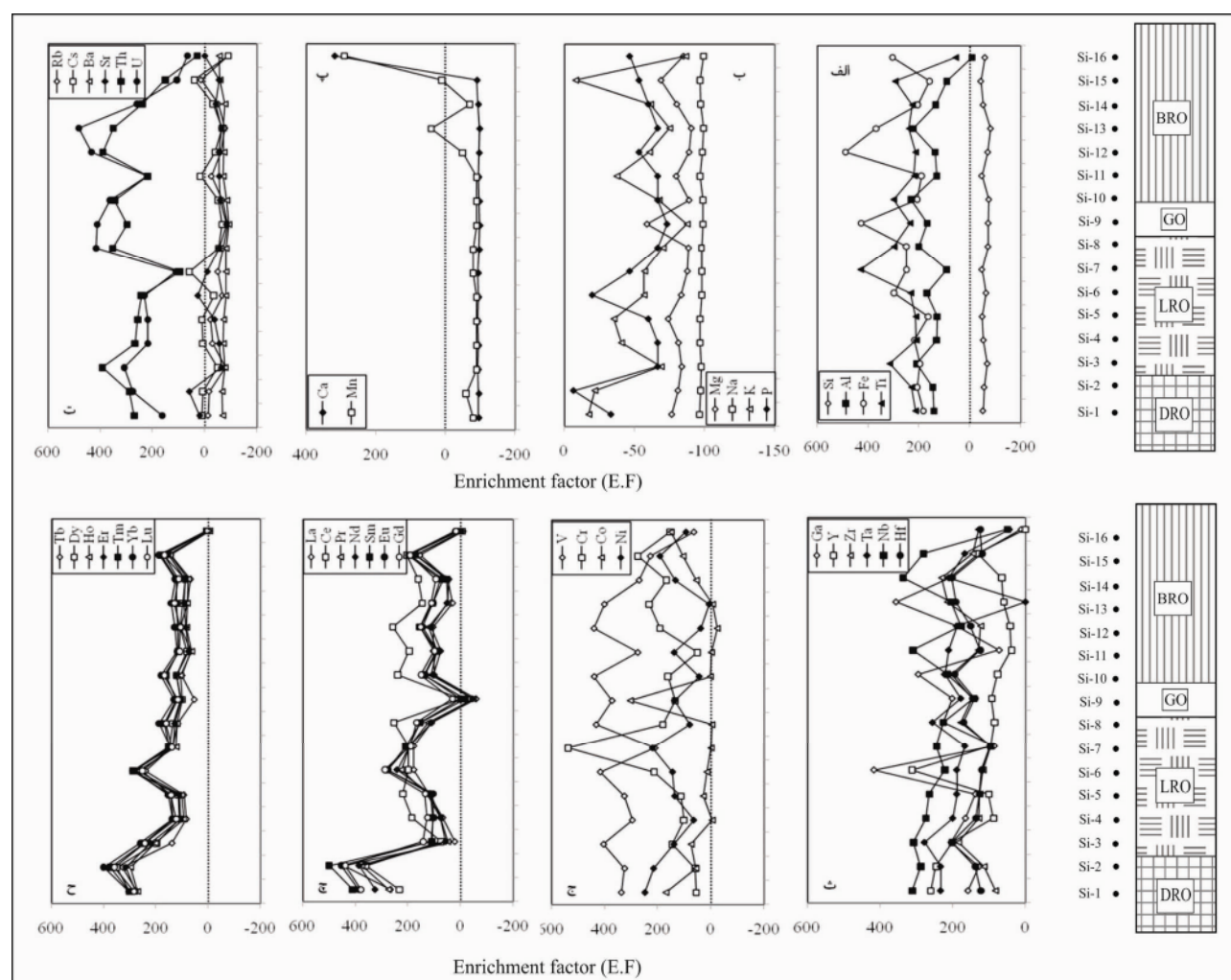
نسبت مقدار Al_2O_3 به SiO_2 به نام مدول در نهشتہ‌های بوکسیت شناخته می‌شود و نقش مهمی در اقتصادی بودن آن ایفا می‌کند [۱۹]. نهشتہ بوکسیتی سیاهرودبار دارای مدول ۰,۷۸ – ۰,۴۱ (با میانگین ۰,۶۷) است و از بوکسیت‌های با کیفیت پایین محسوب می‌شود [۲۰]. بیشترین مقدار مدول در این نهشتہ مربوط به نمونه Si-13 در کانسنج BRO (۰,۱۰) بوده هر چند این مقدار در نمونه Si-10 مربوط به کانسنج LRO نیز قابل توجه (۰,۰۵) است. با توجه به مقادیر مدول در کانسارهای بوکسیت پرعيار در ایران مانند کانسار جاجرم (با مدول ۰,۷۴) می‌توان گفت که نهشتہ سیاهرودبار از کانسارهای با کیفیت متوسط به بالا در ایران محسوب می‌شود. همچنین بر اساس نتایج ادواردز و اتکنسون [۲۱] کانسنج‌های بوکسیتی سیاهرودبار (بطور مشخص نمونه‌های ۳ و ۸ در کانسنج Si-8 و Si-10 و نمونه‌های GO در کانسنج Si-9) در کانسنج LRO ۱۳ در کانسنج BRO (۰,۱۳) از نظر ترکیب شیمیایی برای کاربردهای فلزکاری تجاری مناسب هستند. همچنین با کاهش مقدار آهن در برخی نمونه‌ها از کانسنج‌های DRO و BRO پتانسیل استفاده برای تولید آجر و مواد دیرگذار نیز وجود دارد [۲۲].

محاسبه ضریب غنی‌شدگی عناصر طی تشکیل نهشتہ در بررسی نهشتہ‌های بوکسیتی می‌توان از روش‌های مختلف زمین‌شیمیایی تعادل جرم و محاسبه ضریب غنی‌شدگی برای بررسی رفتار عناصر استفاده کرد. بررسی‌های انجام شده پیرامون چگونگی توزیع عناصر کم تحرک در کانسنج‌های مورد

شدن کانی‌های تیتانومگنتیت و ایلمنیت و تثبیت آن به صورت کانی‌های آناتاز و روتیل به غنی‌شدگی رسیده است (شکل ۷ الف).

عناصر فرعی: محاسبه ضریب غنی‌شدگی در نهشته سیاهرودبار نشان داده است که عناصری مانند K، Na، Mg و P تهی‌شدگی متوسط تا شدیدی را تجربه نموده‌اند. تهی‌شدگی Na و K (شکل ۷ ب) طی تشکیل نهشته در اثر تخریب فلدسپارها توسط محلول‌های هوازده‌کننده در سیستم‌های واکنشی آب-سنگ رخ داده است، این در حالی است که K احتمالاً به دلیل حضور در کانی‌های نو شکل رسی (کائولینیت) باشد کمتری نسبت به Na دچار تهی‌شدگی شده است. عنصر Mg نیز در اثر تخریب کانی‌های فرومیزین مانند اولیوین و اوژیت و P در اثر تخریب کانی‌هایی مانند آپاتیت به طور بخشی از سیستم خارج شده است (شکل ۷ ب).

-کاهش (Eh) محیط متأثر شود و شستشوی آن اغلب با pH کنترل می‌شود. pH محیط‌های تشکیل نهشته‌های بوکسیتی اغلب بین ۴ تا ۸ است و در این گستره، آلومینیوم به صورت هیدروکسید نامتحرک است و رسوب می‌کند که این خود سبب انباستگی و غنی‌شدگی آن می‌شود. بررسی ضریب غنی‌شدگی Fe نشان از غنی‌شدگی این عنصر با روندی نامنظم همراه با افزایش غنی‌شدگی در بخش‌های بالایی نیمرخ مورد بررسی دارد (شکل ۷ الف). آهن در اثر تخریب کانی‌های فرومگنزین، پیریت و ایلمنیت آزاد می‌شود و تنهشت آن اغلب در محیط‌های قلیایی صورت می‌گیرد. روند افزایشی-کاهشی و نوسان مقادیر Fe می‌تواند در اثر نوسان سطح آب‌های زیرزمینی رخ داده باشد. همچنین می‌توان گفت که به دلیل تغییرات در شرایط پتانسیل اکسایش-کاهش شرایط مناسب برای تشکیل کانی‌های Fe در بخش‌های بالایی در نهشته سیاهرودبار فراهم شده است [۲۶]. تیتانیوم نیز به دلیل شکسته



شکل ۷ الگوی توزیع غنی‌شدگی برای عناصر اصلی، فرعی، جزئی و عناصر خاکی نادر در نهشته سیاهرودبار.

($r = 0.51$)، ($r = 0.65$) Al-Ga و ($r = 0.76$) Al-Hf می‌تواند نشان دهنده حضور این عناصر در شبکه کانی‌های دیاسپور و بوهمیت باشد. همچنین همبستگی مثبت متوسط بین K-Nb ($r = 0.66$) بیانگر حضور Nb در شبکه کانی مسکویت است [۳۰]. افزون بر این، همبستگی مثبت متوسط بین Y-P ($r = 0.69$) می‌تواند نشانگر نقش موثر کانی‌های فسفردار در تمرکز Y در کانسنگ‌های مورد بررسی باشد.

عناصر جزئی واسط: محاسبه ضریب غنی‌شدنگی عناصر نشانگر غنی‌شدنگی V, Cr, Co و Ni در کانسنگ‌های نیمرخ مورد بررسی است (شکل ۷ ج). با وجود نزدیکی شیمیایی این عناصر به آهن [۳۱]، همبستگی‌های مثبت ضعیف و در برخی موارد منفی Fe با ($r = 0.27$) Cr, ($r = 0.15$) Co, ($r = 0.13$) و منفی ($r = -0.49$) Ni در کانسنگ‌های این نهشتہ بیانگر تمرکز این عناصر توسط عوامل دیگری است. همبستگی مثبت قوی Al-V ($r = 0.90$) نشانگر تثبیت این عنصر توسط کانی‌های آلمینیومدار مثل دیاسپور و بوهمیت در کانسنگ‌هاست. Cr تنها همبستگی مثبت متوسط با ($r = 0.64$) دارد که نشان دهنده نقش کنترلی کانی‌های آناتاز و روتیل در تمرکز این عنصر است. غنی‌شدنگی Ni می‌تواند در ارتباط با شرایط قلیایی ایجاد شده توسط سنگ بستر کربناته رخ داده باشد [۷]. همچنین، همبستگی مثبت متوسط Si-Ni ($r = 0.69$) و K-Ni ($r = 0.59$) نقش موثر کانی مسکویت در تمرکز و تثبیت این عنصر را آشکار می‌سازد [۳۲]. همبستگی مثبت قوی بین Mg-Co ($r = 0.77$) می‌تواند نشانگر تمرکز Co توسط کانی‌های منیزیم‌داری مثل کلینوکلر در نهشتہ باشد.

عناصر خاکی نادر (REE): محاسبات انجام شده نشان داده است که هم عناصر خاکی نادر سبک (LREE, HREE)، La-Gd, Tb-Lu, Sr و هم سنگین (Tb-Lu, HREE)، در کانسنگ‌های مورد بررسی دچار غنی‌شدنگی شده‌اند. بیشترین میزان غنی‌شدنگی در بخش‌های زیرین نیمرخ رخ داده است (شکل‌های ۷ ج و ح). تنها تهی‌شدنگی نسبی LREE‌ها در کانسنگ GO دیده می‌شود. همچنین این محاسبات آشکار می‌کند که LREE‌ها کمی بیش از HREE‌ها با غنی‌شدنگی همراه شده‌اند. افزایش مقدار REE‌ها در نزدیکی سنگ بستر کربناته می‌تواند ناشی از شستشوی این عناصر توسط محلول‌های هوازده کننده فرورو در بردارنده اسیدهای کربنیک و هومیک از بخش‌های بالایی و انتقال آن‌ها به بخش‌های پایینی نیمرخ باشد. البته این امر به واسطه افزایش pH محلول‌های فرورو در اثر عملکرد سنگ

محلول‌هایی که باعث آزاد شدن عناصر قلیایی از کانی‌های سنگ خاستگاه شده‌اند، به احتمال زیاد غنی از اسیدهای کربنیک و هومیک بوده‌اند [۲۵]. همچنین به نظر می‌رسد که الگوهای نامنظم تهی‌شدنگی عناصری چون Mg, P و K احتمالاً به عواملی مانند اختلاف در شدت دگرسانی در سنگ خاستگاه وابسته باشد. دو عنصر Ca و Mn نیز با وجود تهی‌شدنگی در قسمت‌های زیرین نیمرخ مورد بررسی، در بخش بالایی (بخش بالایی BRO) غنی‌شدنگی قابل ملاحظه‌ای را تجربه کرده‌اند (شکل ۷ پ). تهی‌شدنگی Ca اغلب در اثر تخریب پلاژیوکلازها رخ می‌دهد، اما غنی‌شدنگی آن می‌تواند بدلیل تشکیل کانی کلسیت در اثر فعالیت محلول‌های برونزاد در بخش‌های بالایی نیمرخ مورد بررسی بوده باشد. تهی‌شدنگی Mn به دلیل شکسته شدن کانی‌های فرومنیزین رخ داده است. با توجه به همبستگی مثبت و قوی بین Ca-Mn ($r = 0.92$) به نظر می‌رسد که غنی‌شدنگی منگنز در برخی از کانسنگ‌ها به دلیل جانشینی Mn در شبکه کانی کلسیت روی داده باشد [۲۷].

عناصر سنگ دوست درشت یون: از میان عناصر سنگ دوست درشت یون، Ba و Rb از نیمرخ مورد بررسی تهی شده‌اند (شکل ۷ ت). تهی‌شدنگی این عناصر در اثر شکسته شدن و تخریب کانی‌های فلدسپاری و ورود این عناصر به محلول هوازده کننده رخ داده است. عناصری مانند Sr و Cs با وجود تهی‌شدنگی در طول نیمرخ، در برخی نمونه‌ها کمی غنی‌شدنگی نیز نشان می‌دهند (شکل ۷ ت). تهی‌شدنگی Sr در اثر هوازده‌گی فلدسپارها رخ داده است [۲۸]، اما غنی‌شدنگی آن در برخی از کانسنگ‌های نیمرخ مورد بررسی می‌تواند به دلیل همبستگی مثبت و قوی P-Sr ($r = 0.96$) از طریق تثبیت این عنصر در کانی‌های فسفاتدار رخ داده باشد. همچنین، همبستگی‌های مثبت و قوی Si-Cs ($r = 0.81$) و K-Cs ($r = 0.81$) اشاره تمرکز Cs توسط کانی‌هایی مانند مسکویت در نهشتہ دارد [۲۹]. عناصر U و Th در افق مورد بررسی به غنی‌شدنگی رسیده‌اند (شکل ۷ ت). با توجه به همبستگی مثبت قوی Al-Al ($r = 0.87$) و Al-Th ($r = 0.79$) می‌توان ادعا کرد که کانی‌های رسی همراه با دیاسپور و بوهمیت نقش ارزنده‌ای در توزیع و تثبیت این دو عنصر ایفا نموده‌اند.

عناصر با قدرت میدان بالا: تکامل فرآیندهای بوکسیتی شدن در نهشتہ سیاهرودبار با غنی‌شدنگی عناصر Ta, Zr, Y, Ga, Hf و Nb همراه بوده است (شکل ۷ ث). به نظر می‌رسد که غنی‌شدنگی همه این عناصر کم‌تحرک بصورت بر جا صورت گرفته باشد. همبستگی‌های مثبت متوسط تا قوی Al-Zr

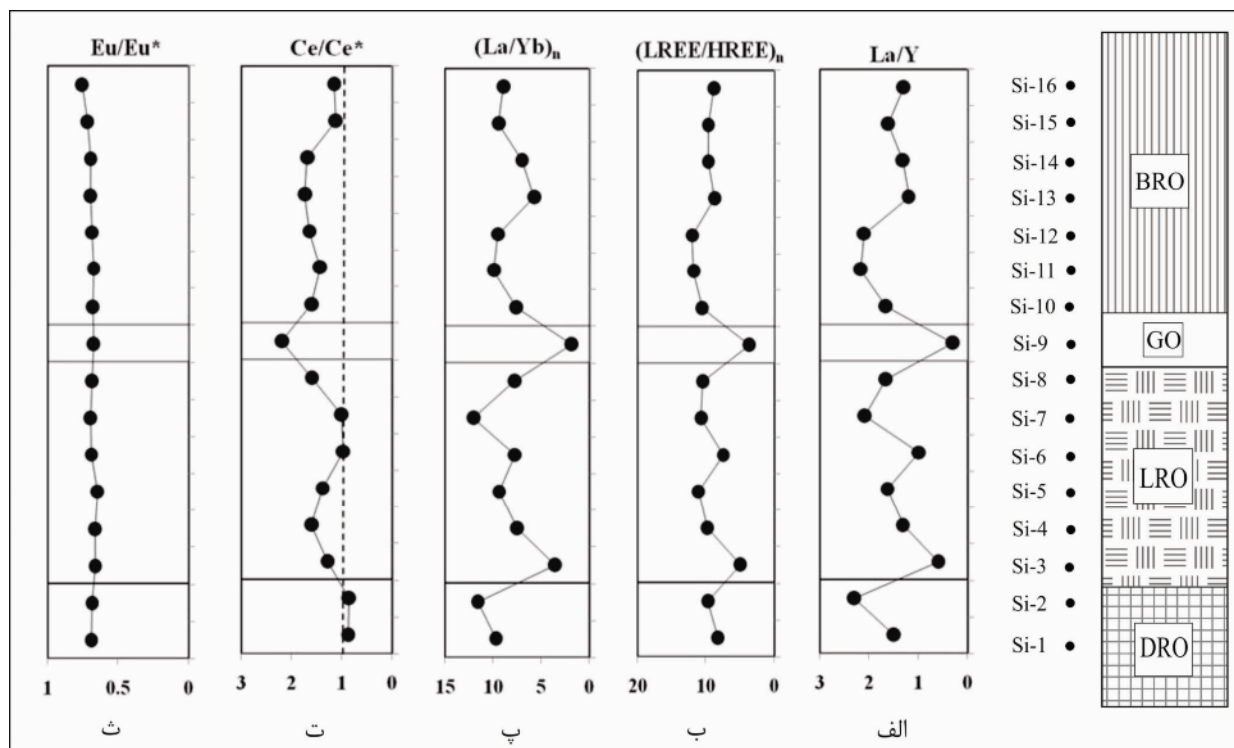
شدن به سنگ بستر کربناته) نسبت به کمپلکس‌های دربردارنده LREE‌ها، این غنی‌شدگی نسبتاً بیشتر آنها می‌تواند قابل توجیه باشد [۳۵].

چندین گروه از کانی‌ها به عنوان میزبانان اصلی REE‌ها در فراورده‌های هوازدگی پیشنهاد شده‌اند که از میان آنها می‌توان به اکسیدها و هیدروکسیدهای آهن، کانی‌های رسی، فسفات‌های ثانویه و فازهای کانیایی مقاوم در برابر هوازدگی چون زیرکن و کانی‌های تیتانیم‌دار اشاره کرد [۳۶]. وجود همبستگی‌های منفی و یا ضعیف بین REE‌ها با Al, Fe, Si, Ti و Zr بیانگر عدم تاثیر رس‌ها، اکسیدهای آهن و کانی‌های مقاوم در برابر هوازدگی (روتیل و آناناتر) در توزیع لانتانیدها در نهشته سیاهرودبار است. این در حالی است که همبستگی‌های مثبت معنادار بیشتر REE‌ها (به جز Ce) با P ($r = 0.84 - 0.64$) می‌توانند دلیل محکمی بر نقش موثر کانی‌های فسفاتی ثانویه در تمرکز لانتانیدها در کانستگ‌های موردن بررسی باشند. به طور مشابه، وجود همبستگی‌های مثبت متوسط تا قوی بین REE‌ها (به جز Ce) با Y ($r = 0.97 - 0.62$) می‌تواند در ارتباط با رفتارهای زمین‌شیمیایی مشابه Y و لانتانیدها طی رخداد فرآیندهای بوکسیتی شدن در سیاهرودبار باشد.

بستر کربناته رخ داده که تثبیت این عناصر را در پی داشته است.

تغییرات مقدار pH در نهشته‌های بازماندی به کمک مقادیر نسبت Y/La قابل بررسی است، بطوری که $La/Y > 1$ نشانه‌ای از شرایط قلیایی و $La/Y < 1$ اشاره به شرایط اسیدی محیط نهشت دارد [۳۳]. تغییرات این نسبت زمین‌شیمیایی در نهشته سیاهرودبار اگرچه دارای روندی نامنظم است، اما نشان دهنده افزایش اندک pH به سمت سنگ بستر است (شکل ۸الف). به نظر می‌رسد که این افزایش اندک pH بواسطه خنثی شدن محلول‌های فروروی اسیدی در برخورد با سطح آب‌های زیرزمینی و ترسیب کمپلکس‌های REE‌ها رخ داده باشد. عدم تهی شدگی شدید عناصر خاکی نادر در بخش‌های بالای این نهشته می‌تواند به تفاوت در میزان پایداری کانی‌های اولیه حامل REE‌ها وابسته باشد [۳۴]. تهی شدگی LREE‌ها در بخش GO می‌تواند بدلیل خروج این عناصر توسط کمپلکس‌های آلی رخ داده باشد.

جدایش و غنی‌شدگی بیشتر LREE‌ها نسبت به HREE‌ها برپایه بررسی نسبت‌های $(La/Yb)_n$ و $(LREE/HREE)_n$ (شکل‌های ۸ ب و پ) قابل ارزیابی است. با توجه به پایداری بیشتر کمپلکس‌های شامل HREE‌ها با افزایش pH محلول‌های فروروی هوازدگه کننده (به دلیل نزدیک



شکل ۸ الگوی تغییرات Y در کانسنگ‌های بوکسیتی سیاهرودبار.

در کنترل فازهای کانیایی تشکیل شده جدید صورت گرفته است. بطور کلی در کانسنگ‌های نهشته سیاهرودبار، REE، Sr و Y در کنترل کانی‌های فسفاته قرار دارند. کانی‌های دیاسپور و بوهمیت میزبان عنصری همچون U، Th، Hf، Ga، V و Zr هستند. افزون بر این، مسکویت توزیع عنصری مثل Eu، Ni، Nb و Cs را در کنترل دارد. کبالت در شبکه کانیایی کلینوکلر جای گرفته و Cr توسط روتیل و آناناتز در سیستم ثبت شده است. رخداد بی‌هنجری مثبت Ce در نیمرخ مورد بررسی در ارتباط با ایجاد شرایط اکسیدی و بی‌هنجری منفی Eu مربوط با دگرسانی فلدسپارهای سنگ خاستگاه طی پیشرفت فرآیند بوکسیتی شدن در سیاهرودبار بوده است.

قدردانی

نگارندگان از حمایت‌های مالی معاونت پژوهشی و تحصیلات تکمیلی دانشگاه تبریز و سازمان ایمیدرو برخوردار بوده‌اند، لذا شایسته است نهایت سپاس و قدردانی خود را از آنان ابراز دارند. نگارندگان همچنین از نظرات و پیشنهادهای ارزنده و سازنده‌ی داوران محترم مجله سپاسگزاری می‌نمایند.

مراجع

- [1] Jafarian M., Jalali A., "Khoshyeilagh geology map, scale 1: 1000000", Geological Survey of Iran, (2004).
- [2] Consulting Engineers of Iran Formation, "Report of Exploration of Bauxite Reservoirs of Aluminosilicate Materials in the Siahrudbar Zone (in persian)" (1983).
- [3] Shamanian Gh. H., "Economic Geology Studies of Bauxite Deposit in Siahroodbar, Golestan Province, Iran", Final report of research project, Golestan University (2010) 35p.
- [4] Zamani A., Shamanian Gh.H., "Mineralogy and geochemistry of the Siahrudbar bauxite deposit, Southeast of Gorgan (in Persian)", 23th Symposium of Crystallography and Mineralogy of Iran (2016).
- [5] Pavandi A., "The Study of Texture, mineralogy and geochemistry of Rere earth elements in Siahrudbar Bauxite, Golestan province", MSc Thesis in Economic Geology, Golestan University (2017) 100p.
- [6] Ellahi S. S., Taghipour B., Zaravandi A., Bird M. I., Somarin A. K., "Geochemistry and Stable Isotope Studies of the Dopolan Bauxite Deposit, Zagros Mountain, Iran", Minerals 6 (2016) 1-21.

تفسیر بی‌هنجری‌های Ce و Eu

در این پژوهش، مقدار بی‌هنجری‌های Eu و Ce به ترتیب بر اساس روابط $\text{Eu}/\text{Eu}^* = \text{Eu}_N/(\text{Sm}_N \times \text{Gd}_N)^{0.5}$ و $\text{Ce}/\text{Ce}^* = 2\text{Ce}_N/(\text{La}_N + \text{Pr}_N)$ محاسبه شد [۳۷] (N) به معنای بهنجر شده به ترکیب کندریت است. بی‌هنجری Eu در نهشته سیاهرودبار در گستره ۰،۶۴ تا ۰،۷۵ (با میانگین ۰،۶۹) و بی‌هنجری Ce در گستره ۰،۸۶ تا ۰،۲۰ (با میانگین ۰،۳۹) متغیر است. بی‌هنجری Ce در این نهشته دارای مقادیر مثبت در بخش‌های بالای نیمرخ (LRO، GO، BRO) است، هر چند روند این بی‌هنجری‌ها با نوساناتی همراه است (شکل ۸). تغییرات Eh محیط و تفاوت در حرک Ce نسبت به سایر REE‌ها می‌تواند سبب ایجاد چنین بی‌هنجری‌های Ce در این نهشته بازماندی شود. در واقع، علت تشکیل بی‌هنجری‌های مثبت Ce در این نهشته را می‌توان وجود شرایط اکسیدی در بخش‌های بالای نیمرخ دانست. اما بی‌هنجری منفی Ce که در بخش پایینی (DRO) نیمرخ دیده می‌شود، به احتمال زیاد به دلیل تشکیل کمپلکس‌های پایدار سریوم- کربنات در محلول‌های کانسنگ‌ساز در نزدیکی بستر کربناته است [۲۶].

رخداد بی‌هنجری منفی ضعیف Eu در کانسنگ‌های نیمرخ مورد بررسی (شکل ۸ ث) بیانگر دگرسانی کانی‌های فلدسپار (پلاژیوکلازها) طی فرآیندهای هوازدگی و آزاد شدن به درون محلول‌های مسؤول هوازدگی است.

برداشت

نیمرخ بوکسیتی سیاهرودبار، بر پایه بازدهی‌های صحراوی و ویژگی‌های فیزیکی به ۴ کانسنگ قابل تفکیک است. این کانسنگ‌ها از نظر بافتی و ویژگی‌های فیزیکی با هم تفاوت دارند، ولی در بیشتر کانسنگ‌ها بافت اوییدی-پیزوویدی چیره است. کانی‌های دیاسپور، هماتیت و کائولینیت به عنوان فازهای کانیایی اصلی در کانسنگ‌های این نهشته حضور دارند. کانسنگ‌های این نهشته در گستره‌های بوکسیت و لاتریت قرار می‌گیرند که طی فرآیند لاتریتی شدن متوسط تا شدید تشکیل شده‌اند. محاسبه ضریب غنی‌شدگی عناصر نشان داد که فرآیندهای بوکسیتی شدن در نهشته سیاهرودبار با سیلیس‌زادی و حذف عناصر قلیایی و قلیایی خاکی و غنی شدگی Al و Fe همراه بوده است.

با توجه به ضرایب همبستگی بین عناصر می‌توان نتیجه گرفت که توزیع عناصر جزئی و عناصر خاکی نادر به طور عمده

- [17] Aleva G. J. J., "Laterites: Concepts, Geology, Morphology and Chemistry", Wageningen, The Netherlands (1994) pp 169.
- [18] Schellmann W., "A new definition of laterite ", Memoirs of the Geological Survey of India 120 (1986) 1-7.
- [19] Yalcin M. G., Ilhan S., " Major and trace element geochemistry of bauxites: Ayrancı, Karaman, Central Bolkardag, Turkey", Asian Journal of Chemistry 25 (2013) 2893-2904.
- [20] Voros I., "Definition of bauxite; Principles and methods of bauxite prospecting ", Asian Aluteru-Fki\s, Printig Slop. (1979).
- [21] Edwards R., Atkinson K., "Ore Deposit Geology", London, Chapman and Hall, (1986) 1-496.
- [22] Manning, D. A. C., "Introduction to industrial minerals". Chapman and Hall, London, (1995) 279p.
- [23] Malpas J., Duzgoren-Aydin N. S., Aydin A., "Behaviour of chemical elements during weathering of pyroclastic rocks, Hong Kong", Environment International 26 (2001) 359-368.
- [24] Rudnick R. L., Gao S., "Composition of the continental crust", In: Holland H., Turekian K, editors. Treatise on Geochemistry. 2nd ed. Amsterdam, the Netherlands: Elsevier (2004) 1-64.
- [25] Karadag M. M., Kupeli S., Aryk F., Ayhan A., Zedaf V., Doyen A., "Rare earth element (REE) geochemistry and genetic implications of the Mortas Bauxite deposit (Seydisehir/Konya – Southern Turkey)", Chemie der Erde 69 (2009) 143-159.
- [26] Hill I. G., Worden R. H. G., Meighan, I. G., "Geochemical evolution of paleolaterite: the interbasaltic Formation, Northern Ireland", Chemical Geology 166 (2000) 65-84.
- [27] Mucci A., "Manganese uptake during calcite precipitation from seawater: Conditions leading to the formation of a pseudokutnahorite" , Geohimica et Cosmohimica Acta 52 (1988) 1859-1868.
- [28] Plank T., Langmuir C.H., "Chemical composition of subducting sediment and its consequences for the crust and mantle", Chemical Geology 145 (1988) 325-394.
- [29] Durrant C.B., Begg J.D., Kersting A.B., Zavarin M., "Cesium sorption reversibility and kinetics on illite, montmorillonite, and kaolinite", Science of The Total Environment 610-611 (2017) 511-520.
- [30] Panahi A., Young G. M., Rainbird R. H., "Behavior of major and trace elements (including
- [7] Ahmadnejad F., Zamanian H., Taghipour B., Zaravandi A., Buccione R., Ellahi S. S., "Mineralogical and geochemical evolution of the Bidgol bauxite deposit, Zagros Mountain Belt, Iran: implications for ore genesis, rare earth elements fractionation and parental affinity " Ore Geology Reviews 86 (2017) 755-783.
- [8] Abedini A., Calagari A. A., Mikaeili K., "Geochemical characteristics of laterites: the Alibaltalu deposit, Iran: implications for ore genesis, rare earth elements fractionation and parental affinity " Bulletin Mineral Research Exploration 148 (2014) 69-84.
- [9] Abedini A., Calagari A. A., "REE geochemical characteristics of titanium-rich bauxites: the Permian Kanigorgeh horizon, NW Iran", Turkish Journal of Earth Sciences 23 (2014) 513-532.
- [10] Abedini A., Calagari A. A., "Mobilization and redistribution of major and trace elements in a lateritic profile: the Sheikh-Marut deposit, NW Iran", Arabian Journal of Geosciences 8 (2015) 10871-10882.
- [11] Abedini A., Calagari A. A., "The tetrad-effect in rare earth elements distribution patterns of titanium-rich bauxites: Evidence from the Kanigorgeh deposit, NW Iran", Arabian Journal of Geochemical Exploration 186 (2017) 129-142.
- [12] Long Y., Chi G., Liu J., Jin Zh., Tangen Dai T., "Trace and rare earth elements constraints on the sources of the Yunfeng paleo-karstic bauxite deposit in the Xiuwen-Qingzhen area, Guizhou, China ", Ore Geology Reviews 91 (2017) 404-418.
- [13] Mongelli G., Buccione R., Gueguen E., Langone A., Sinisi R., " Geochemistry of the Apulian allochthonous karst bauxite, Southern Italy: Distribution of critical elements and constraints on Late Cretaceous Peri-Tethyan palaeogeography", Ore Geology Reviews 77 (2016) 246-259.
- [14] Mongelli G., Boni M., Oggiano G., Mameli P., Sinisi R., Buccione R., Mondillo N., " Critical metals distribution in Tethyan karst bauxite: The cretaceous italian ores", Ore Geology Reviews 86 (2017) 526-536.
- [15] Nabavi M. H., "An introduction to geology of Iran. (in Persian) ", Geological Survey of Iran, Tehran, (1976).
- [16] Bardossy G., "Karst Bauxites–Bauxite deposits on carbonate rocks. Developments in Economic Geology", Elsevier Amsterdam 14 (1982) 1-441.

- [34] Beyala V. K. K., Onana V. L., Priso E. N. E., Parisot J., Ekodeck G. E., "Behaviour of REE and mass balance calculations in a lateritic profile over chlorite schists in South Cameroon", *Chemie der Erde-Geochemistry* 69 (2009) 61-73.
- [35] Ronov A.B., Balashov Y.A., Migdisov A., "Geochemistry of the rare earths in the sedimentary cycle", *Geochemistry International* 4 (1967) 1-17.
- [36] Ma J., Wei G., Xu Y., Long W., Sun W., "Mobilization and re-distribution of major and trace elements during extreme weathering of basalt in Hainan Island, South China". *Geochimica et Cosmochimica Acta* 71 (2007) 3223-3237.
- [37] Taylor S. R., McLennan S. M., "The continental crust: Its composition and evolution". Blackwell Scientific Publication, Carlton (1985) 312 p.
- REE) during Paleoproterozoic pedogenesis and diagenetic alteration of an Archean granite near Vill Marie, Quebec, Canada", *Geochimica et Cosmochimica Acta* 64 (2000) 2199-2220.
- [31] Pokrovsky O. S., Schott J., Dupre B., "Trace element fractionation and transport in boreal riversand soil porewaters of permafrost-dominated basaltic terrain in Central Siberia", *Geochimica et Cosmochimica Acta* 70 (2006) 3239-3260.
- [32] Zhao X., Qiang S., Wu H., Yang Y., Shao D., Fang L., Liang J., Li P., Fan Q., "Exploring the Sorption Mechanism of Ni(II) on Illite: Batch Sorption, Modelling, EXAFS and Extraction Investigations", *Scientific Reports* 7 (2017) 8495
- [33] Maksimovic, Z., Panto, G., "Contribution to the geochemistry of the rare earth elements in the karst-bauxite deposits of Yugoslavia and Greece", *Geoderma* 51 (1991) 93-109.